

株式会社地質調査事務所 正員 古田 一郎

同 上 " 横田 耕一郎

1. 緒言 筆者等は、土の動的変形特性を調べるために、不攪乱試料を用いた一連の実験的研究を実施して来た。この一環として、応力条件並びに時間効果がもたらす変形挙動への影響についても、実験事実の集積を進めている。今回は、等方圧密履歴を受けた不攪乱砂質土に関し、興味ある結果を得たので報告する。

2. 実験方法 繰返し等方圧密を受ける過程で、土の剛性率が如何に変化するかを調べるために、各荷重段階で共振法試験を実施した。圧密は原則として荷重増加割合一定で行ない、圧密時間は一次圧密に要する時間の3倍で統一した。共振法試験は、セン断の影響を考え、セン断歪が 1×10^{-5} 以下になるように入力を設定した。

3. 試料 今回用いた試料は、洪積層(記号Dで示す)及び沖積層(記号A)で採取したものであり、図-1に粒径加積曲線、有効土被り圧(σ_v')並びに細粒分含有率(F.C.)を示した。洪積層は同一地域の試料であり、D₁～D₃は同一地層に属している。

4. 実験結果 実験結果からセン断歪が 1×10^{-6} の剛性率Gをもとめ、圧密履歴の影響を整理してみた。

砂質土の変形挙動を支配する状態量として、ある応力面上のセン断応力 τ 、垂直応力 σ' 及び間隙比eを考える場合が多い。セン断歪を一定にして得られたGの挙動は、 $e - \tau - \sigma'$ 空間での等セン断歪線上の動きに相当する。ここで、 σ' を等方圧密圧力 p' に置き換えて考えると、一定のセン断歪を発生するに必要な τ は、eと p' に支配される。そこで、Gを仮にeと p' の関数の積(1)式で与え、実験結果と比較してみる。

$$G = f(p') \cdot g(e) \quad (1)$$

図-2の $e \sim \log p'$ 曲線に対し、 $e \sim \log G$ 曲線が図-3(a)となる。図-3(a)には、等圧密圧力線を破線で示した。

コンターは、片対数紙上で平行な直線群を形成し、 $\log G$ 軸方向の間隔は、ほぼ $\log p'$ に比例している。図-3(a)を用いて、 $\log G \sim \log p'$ 面上に等間隔3比線を描くと、図-4の様になる。この場合、両対数紙上で

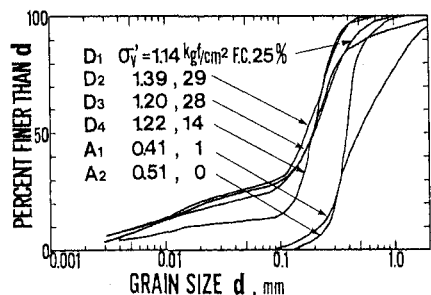
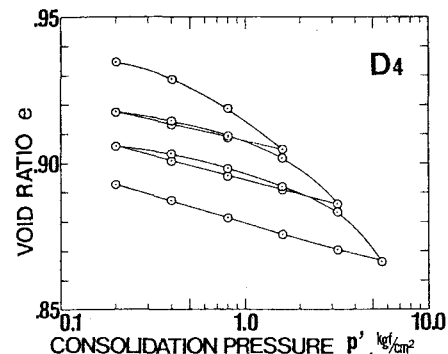
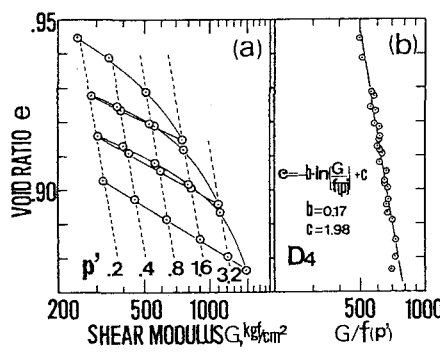
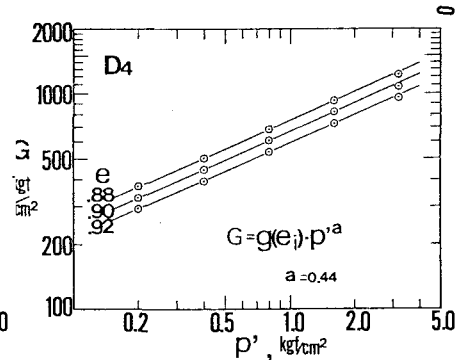


図-1 粒径加積曲線

図-2 $e \sim \log p'$ 図-3 $e \sim \log G$, $\log(G/f(p'))$ 図-4 $\log G \sim \log p'$

平行な直線群となる。図-4の関係に(1)式を適用すると、 $e = e_i$ の時の剛性率 G_i は次式で与えられる。

$$G_i = f(p) \cdot g(e_i) = p'^a \cdot g(e_i) \quad (g(e_i), a \text{は定数}, f(p) = p'^a) \quad (2)$$

次に、図-3(a)の関係に(2)式を適用し、 G を $f(p)$ で割つて整理すると、図-3(b)となる。 $e \sim G / f(p)$ 関係は、ほぼ一本の直線で表わされる。この関係から G を p' 及び e で与えると、次の様になり、 G が p' のみの関数と e のみの関数の積、即ち(1)式で表わされたことになる。

$$\text{図-4} : f(p) = p'^a \quad (a : \text{定数}) \quad (3)$$

$$\text{図-3(b)} : g(e) = e \times p \left(\frac{c-e}{b} \right) \quad (b, c : \text{定数}) \quad (4)$$

故に

$$G = f(p) \cdot g(e) = p'^a \cdot e \times p \left(\frac{c-e}{b} \right) \quad (5)$$

(5)式から、先行圧密履歴 (G_0, p'_0) を受けた場合の G を求めると、膨潤曲線勾配を $-K$ として次式で表わされる。

$$G/G_0 = (p'_0/p')^{-a - \frac{K}{b}} \quad (6)$$

図-5に(6)式と実験結果を比較したが、比較的良い対応を示している。

最後に、全試料の $f(p)$ 及び $g(e)$ をまとめて、図-6 図-7に示した。試料の違いは $g(e)$ に反映されており、例えば図-1のF.C.に比較してみても、 $g(e)$ の定数は F.C.の増加に伴い増加する傾向にある。

5. 結 言 不攢乱砂質土について、圧密履歴に関する興味ある結果が得られた。今後、より多くの地域の土層について検討して行きたい。

<参考文献>

Afifi.S.S. and Richart.F.E. (1972) "Stress-History Effects on Shear Modulus of Soils" Soil and Foundation JSSMFE, vol.13, No.1, Mar. PP.77-94

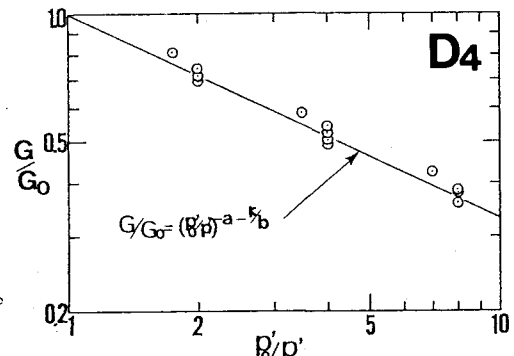


図-5 $G/G_0 \sim p'_0/p'$

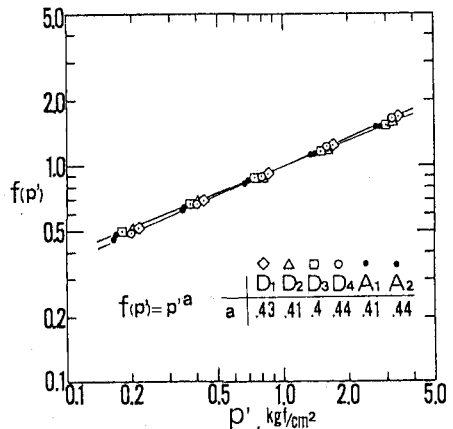


図-6 $\log g f(p) \sim p'$

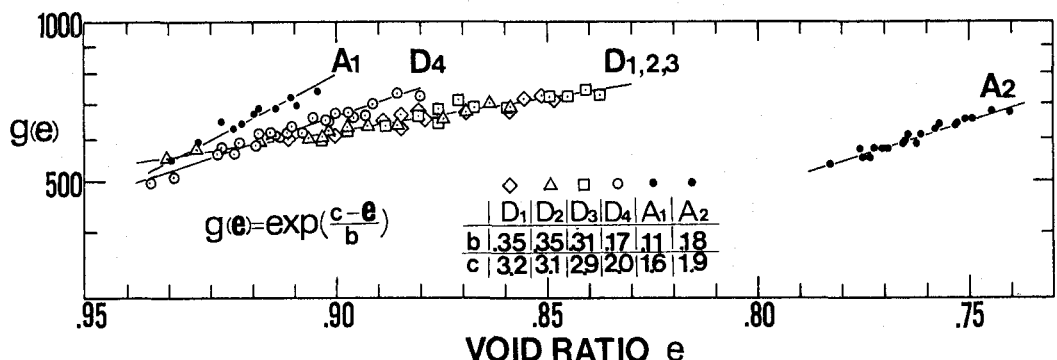


図-7 $\log g g(e) \sim e$